

FIRST INTERNATIONAL WORKSHOP

**“ACTUAL PROBLEMS OF FUNDAMENTAL  
SCIENCE”**

**APFS’2015**

Dedicated to 75 anniversary in  
prof. I.D. Olekseyuk

Lutsk – Shatsk Lakes, May 30 – June 03, 2015

**PROCEEDINGS**

FIRST INTERNATIONAL WORKSHOP  
**“ACTUAL PROBLEMS OF FUNDAMENTAL  
SCIENCE”**



**PROCESSES; MATERIALS – GROWTH AND  
OPTICAL PROPERTIES”**

3. R. Fochuk, O. Korovyanko, I. Turkevych, O. Panchuk, P. Siffert. Defect chemistry in CdTe<sub>n</sub> crystals // J. Cryst. Growth - 1999. - V.207. - P.273-277.
4. П.М. Фочук, О.О. Коровянко, І.Р. Туркевич, О.Э. Панчук. Моделирование высокотемпературного равновесия дефектов в CdTe, легированном In и Ga // Неорг. Mater. - 2002. - Т.38, №4. - С.435-439.
5. E.S. Nikonyuk, V.Z. Shlyakhtovu, M.O. Kovalets, M.I. Kuchma, Z.I. Zakharuk, A.I. Savchuk, I.M. Yuryevich. «Self-purification effect in CdTe:Gd crystals» // J. Semicond. Phys., Quant. Electronics&Optoelectronics, -2008. -V.11, №1. -P.40-42.
6. Fochuk P., Grill R., Nakonechnyi I., Korach O., Panchuk O., Verzhak Ye., Belas E., Bolomnikov A. E., Yang G. and James R. B. Effect of Cd<sub>x</sub>Zn<sub>1-x</sub>Te:In crystals annealing on their high-temperature electrical properties // IEEE Trans. Nucl. Sci. -2011. - Vol. 58, Issue 5. - P. 2346-2351.

## ПРОГРАМНЕ ЗАБЕЗПЕЧЕННЯ ДЛЯ АНАЛІЗУ ОПТИЧНИХ СПЕКТРІВ НАНО – ТА МОНОКРИСТАЛІВ НАПІВПРОВІДНИКОВИХ СПОЛУК

**Є.В. Мінов<sup>1</sup>, Л.І. Д'яченко<sup>1</sup>, О.В. Крупко<sup>1,2</sup>, О.М. Кобіович<sup>1</sup>, Ю.Б. Халавка<sup>1</sup>, С.Е. Остапов<sup>1</sup>**

<sup>1</sup>Чернівецький національний університет імені Юрія Федьковича, бул. Коцюбинського 2, м. Чернівці, 58012, Україна, e-mail: ukhalavka@chtnu.edu.ua

<sup>2</sup>Буковинський державний медичний університет, 2, Театральна пл., м. Чернівці, Україна, 58002

Описано принцип роботи розробленого авторами програмного забезпечення для аналізу оптичних спектрів напівпровідниківих нано-та макрокристалив.

**Ключові слова:** оптика, методи дослідження, напівпровідникова матеріалі, програмне забезпечення, монокристал, нано-частинки.

Враховуючи бурхливий розвиток технології напівпровідникових матеріалів у різних галузях промисловості та наукових дослідженнях посталася потреба у точному та швидкому методі вимірювання їх властивостей та отримання отриманих даних. Оптичні методи є одними із найбільш розповсюджених та важливих методів для характеристики як об'ємних напівпровідників, так і колайдних частинок: визначення ширини забороненої зони, розмірів частинок, форми включень, стану поверхні тощо. У залежності від характеру взаємодії речовини з електромагнітним випромінюванням оптичні методи аналізу поділяють на адсорбційні, які засновані на вимірюванні поглинання речовиною світового випромінювання (спектрофотометрія, колориметрія, фотоколориметрія, атомно-абсорбційні методи аналізу) та емісійні – засновані на вимірюванні інтенсивності світла, випромінюваного речовиною (флуориметрія, емісійний спектральний аналіз та полум'яна фотометрія). Оптичні методи дозволяють, зокрема, зробити якісну оцінку розподілу наночастинок за розмірами. Наприклад, гострий екситонний пік у спектрі поглинання у

випадку малих НК у зразку. Якби розподіл за розмірами був широким було би лекітка екситонних піків, відповідно до різних енергій для НК різних розмірів і при їх перекриванні ми б не змогли бачити гострих екситонних піків у спектрі поглинання, а лише широкий і невиразний край абордії.

Методою даної роботи є створення математичної програми SpectralAnalyzer та апробація створених алгоритмів в отримованні спектрів оптичного поглинання колайдних розчинів напівпровідникових наночастинок CdS та CdTe.

Програма дозволяє завантажувати спектри текстового файлу, що містить буль-якісні спектральні приладів, у форматі текстового файлу, що містить чи фотопломіненції.

Робота з програмою розпочинається із обрання файлу спектра іншого "Read chart data from file" , після чого значення довжини хвилі інтенсивностей читаються з файлу і відображаються на 4-х графіках на головному вікні програми (рис. 1) в 4-х системах координат: [A,D], [E,D], [ $E,(D^*E)^2$ ], [ $E,(D^*E)^{0.5}$ ] відповідно. У випадку оновлення даних є можливість повторного завантаження раніше відкритого файлу спектрів за допомогою кнопки "Reload current charts". Для кожного з графіків передачено 2 способи вказання меж аналізу спектру:

7. виділення потрібного регіону мишкою на потрібному графіку;
8. введення точних мінімального і максимального значень меж по вісі X в діалоговому вікні за допомогою кнопки "Dims" в шапці графіку.

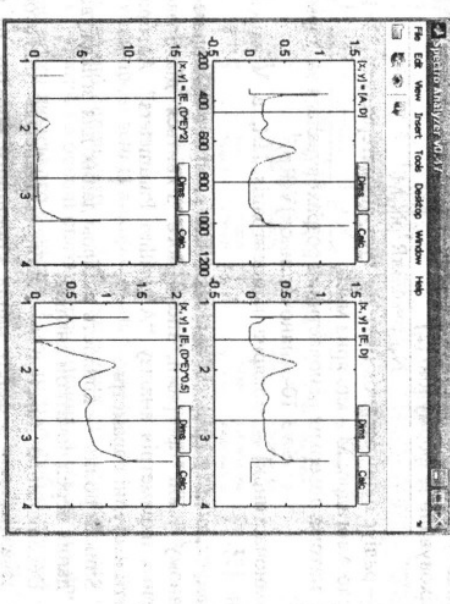


Рис.1. Вікно огляду завантажених спектрів

Однією із основних проблем при отриманні спектрів оптичного поглинання є неточність визначення краю оптичного поглинання  $\lambda_{pr}$ , що

визначають графічним способом за перетином дотичної до довгохвильового краю спектральної характеристики оптичного поглинання. Точність визначення  $\lambda_{\text{гр}}$  складає не менше  $\pm 1 \text{ нм}$ .

Усі подальші розрахунки по визначеному значенню ширини забороненої зони, розміру частинок, числа агломерації та питомої поверхні наночастинок проводяться із використанням графічно визначеного значення краю поглинання за допомогою наступних виразів:

підставивши у вираз залишності між  $\lambda_{\text{гр}}$  і шириною забороненої зони напівпровідника  $E_g$ ,

$$\lambda_{\text{гр}} = hc/(Eg)$$

значення  $h$  – сталої Планка ( $4,135 \cdot 10^{-15} \text{ еВ}\cdot\text{м}$ ),  $c$  – швидкості світла ( $3 \cdot 10^8 \text{ м}/\text{s}$ ) одержано вираз:

$$\lambda_{\text{гр}} = 1242 (\text{eB/m})/E_g, \quad (2)$$

що використовувався для розрахунку  $E_g$ , розмір частинок розраховували за допомогою математичних виразів [1]:

$$R = h(8\mu\Delta Eg)^{-1/2}, \quad (3)$$

де  $R$  – максимальний радіус частинок CdS (нм),  $\mu = [(me^*) - 1 + (mh^*)]^{-1}$ ,  $h$  – постійна Планка ( $h = 4,135 \cdot 10^{-15} \text{ еВ}\cdot\text{с}$ ),  $me^* = 0,21me$ ,  $mh^* = 0,8me$  – ефективні маси електронів та дірок в CdS,  $me$  – маса спокою електрона ( $me = 9,1093 \cdot (16) \times 10^{-31} \text{ кг}$ ),  $\Delta Eg$  – різниця значення ширини забороненої зони наночастинок та масивного кристалу CdS (2,4 еВ);

число агломерації наночастинок CdS, тобто кількість формульнін одиниць у наночисталі, що входять до складу однієї частинки NCdS, розраховували за формулою [2]

$$N_{\text{акт}} = 4/3\pi R^3 \rho N_a M^{-1} \quad (4)$$

де  $R$  – радіус наночастинок (нм),  $\rho$  – густина матеріалу ( $4,82 \times 10^3 \text{ кг}/\text{м}^3$ );  $N_a$  – число Авогадро;  $M$  – молярна маса;

погтома поверхня наночастинок розраховувалася за формулою:

$$S = 3 \cdot 10^{-3} [\text{nаночастинок}]^2 V(R\varrho)^{-1} \quad (5)$$

де [наночастинок] – молярна концентрація НЧ, а  $V$  об'єм реакційної суміші [3].

Запуск аналізу графіків здійснюється кнопкою "Compare data"  , на головному вікні програми, після чого з'явиться діалогове вікно для введення параметрів аналізу "Algorithm Parameters". Алгоритм дозволяє вказати наступні параметри:

- Smooth points – кількість вибірок даних для згладжування вхідних даних перед початком аналізу;
- Deconvolution function – вибір заздалегідь підготовленого або завантаження з файлу даних еталонного спектру на основі якого відбувається деконволюція вхідних даних;
- Step Func. Thresh – поріг довжини хвилі по якому розраховується деконволюція вхідних даних;

- Epsilon – коефіцієнт екстинкції на довжині хвилі Lambda

Результати аналізу виводяться на вікно результатів (рис. 2) у вигляді п'ятих графіків і таблиці зі знайденими значеннями екстремумів і обчислених на основі них наблизених значень середнього діаметра частинки і концентрації розчину. Алгоритм при аналізі використовує тільки дані у вказаному у вікні промежку діапазоні, для отримання краївих результатів перед аналізом рекомендується видасти межі як умога наблизити до бажаного регіону спектра. Номери графіків відповідають номерам графіків із вхідними даними спектрів на головному вікні програми і будуються на відповідних системах координат. П'ятий графік відповідає деконволюції вхідних даних за методикою та алгоритмом наведеними в [4]. Також в програмі передбачена можливість напису окремо кожного графіку з головного вікна програми для п'ятого відповідної графіків передбаченою кнопкою "Calc".

Результати обчислень, за допомогою кнопки "Export to excel", можна експортувати в файл Ms. Excel для подальшої роботи.

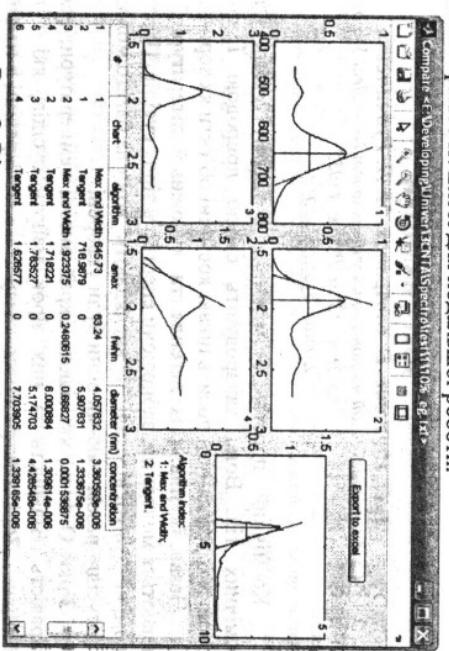


Рис. 2. Вікно виводу результатів аналізу спектрів.

Розрахунки проведені із використанням запропонованого програмного забезпечення значно спрощують роботу дослідника та розширяють число розрахунків функцій на основі спектру поглинання, а також виключають можливість похибки людського фактору. Крім того, обробка одного і того самого аналізу може надати шлуць низку інформації, і таким чином діяльність порівняння та підбору оптимального алгоритму аналізу.

*Публікація підготовлена в ході виконання досліджень за проектом «Розроблення програмно-апаратної системи для встановлення параметрів нано- та мікробіємії колодників розчинів та твердих тіл»,» за фінансової підтримки МОН України.*

#### Список використаних джерел:

- Хайрутдинов Р.Ф. Хімія полутороводневників наночастин / Р.Ф. Хайрутдинов // Успехи хімии. — 1998. — Т. 67. — С. 125—139.
- Похоленко В. Д. Фотохіміческое поведение наночастиц сульфида кадмия // присутствии восстановителей / В. Д. Похоленко, С.Я. Куманій, А.В. Коржак // Теорет. и эксперим. хімія. — 1996. — Т 32, №2.— С. 102—106.
- Фотоперенес електрона між наночастицами CdS и CdTe в коллоїдних розтворах / М.І. Болинарчук, М.В. Коваленко, А.Л. Стронок, С.Я. Куманій // Теорет. и эксперим. хімія. — 2004. — Т. 40, № 5. — С. 279—284.
- Doris Seets, J. Matthew Lucas, Robin N. Klupp Taylor, Marcus Scheele, Hainei Zheng A. Paul Alivisatos, and Wolfgang Peukert Determination of the Quantum Dot Band Gap Dependence on Particle Size from Optical Absorbance and Transmission Electron Microscopy Measurements//ACS Nano. — 2012. — P. — 9021-9032.

## ЗОРІ – ВАМПРИ

**T. C. Нармечев, В. О. Артюх, М. Л. Рубчинська**  
Східноєвропейський національний університет імені Лесі Українки  
пр. Волі, 13, м. Луцьк, 43035

E-mail: ovnoga@ukr.net

Космічний простір безмежний. В ньому зустрічається безліч космічних тіл. Вони зачаровують своєю природою і поводженням. Хотілося б розглянути досить цікаві космічні об'єкти як зорі – вампри.

Назва їх пішла із легенда та художньої літератури, деякі зорі відомі як "толбуї вістепані", і "виглядають" вони на багато молодими і ніжніми сусідами, разом з якими вони були утворені.

Зорки О типу, які мають вкрай високі температури, велику масу і яскравість. Більшість із цих зорок мають сусідів, які і є зорями-вампірами. Зорі спектрального класу О – найяскравіші в нашій Галактиці. Вони як мінімум в 15 разів більші за Сонце і до мільйона разів яскравіші нього. Температура поверхні таких зорок досягає до 30 тисяч градусів Цельсія, і вони випромінюють біло-блакитне світло.

Життя таких зорок досить коротке, але при цьому дуже активне. Закінчують своє життя великим вибухом з постійним розсіюванням різних хімічних елементів. Які випливавуть на хімічний склад галактик. Протягом житті вони випромінюють потужний зоряній вітер, який запобігає утворенню нових зорів. Саме тому парні системи з такими зірками досить рідко зустрічаються.

Зорі перетягають на себе гази з іншої зорки сусідки і тим збільшують свою масу.

час свого існування. Зірка – жертва – втрачаючи більш холдиний водневий шар, не може стати червоним гіантом, і здається гарячіша і блакитніша.

Це явище і є явищем вампізму. Одна зірка існує за рахунок сусідньої зірки, забираючи своєю гравітацією гази з поверхні іншої. І тому продовжує своє існування.

1. <http://www.newsru.ua/world/30jul2012/vampstar.html>
2. <http://www.sciencemag.org/content/337/6093/444.abstract>

## ЗМІНА СТРУКТУРИ АМОРФНИХ СПЛАВІВ ПІД ДІЄЮ ЛАЗЕРНОГО ВИПРОМІНЮВАННЯ

**Никифор Ю. С.<sup>1</sup>, Жебенерук С.В.<sup>1</sup>, Рибіцькі Я.<sup>2</sup>**  
<sup>1</sup>Львівський національний університет імені Івана Франка, кафедра Фізики металів,  
вул. Киріла і Мефодія, 8, 79005, Україна  
E-mail: zhenoteknik@gmail.com

**ІІ-Донецький технологічний університет, факультет прикладної фізики і математики,**  
ІІ-Логітика

Робота присвячена дослідженню структурних змін, що відбуваються в аморфних металевих сплавах, на основі заплза під дією лазерного випромінювання. Встановлено, що за допомогою лазерного випромінювання можливо модифікувати структуру аморфних стрілок шляхом індукованых локальних змін структурних параметрів, формувати аморфно-нанокристалічні композити, та контролювано змінювати властивості цих матеріалів.

Ключові слова: аморфні металеві сплави, аморфно-нанокристалічні композити, лазерне опромінення.

Аморфні металеві сплави (AMC) завдяки своїм унікальним властивостям давно привертають увагу дослідників. Особливий інтерес становлять сплави, в яких під дією різного роду факторів формується чинокристалічна структура. До таких факторів відносять нагрівання, котермічну витримку, деформації, високоенергетичне випромінювання, тощо. Водночас, особливості структурних перетворень, кінетика кристалізації, фазовий склад та структурні особливості наночастиц, що кристалізуються з аморфної матриці під дією високоенергетичного випромінювання, в тому числі лазерного, потребують подальших експериментальних досліджень, оскільки зазначені процеси протикають в чільно нерівноважних умовах нагрівання, що ускладнює їх процесу теоретичними методами, а також створює передумови для процесу самоорганізації, та формування нового типу структур.

Кешин А.Г., Семенюк Т.А.	Вплив складу скла на спектрально-люмінесцентні характеристики йонів рідкоземельних елементів.....	136
Коровинський А., Чоск Д., Качан Ю., Колядинський І., Сахарчук В.	Морфометрія шарок карбону отриманих магнетронним депонуванням.....	138
Королишин А.В., Мудрий С.Л., Штабавий Л.І.	Близький порядок розплавів системи $(\text{PbTe})_x(\text{Bi}_2\text{Te}_3)_y$ .....	142
Кримусев А., Кітік І., Урабан О.	Дослідження п'єзоселективного ефекту у тетрагональних халькогенідах $\text{Ag}_x\text{Ga}_2\text{Ge}_{1-x}\text{Se}_2$ .....	145
Купоров В.	Узагальнена гідродинаміка багатокомпонентних нейтральних та іонічних шарів.....	147
Купоров В.	Колективна динаміка багаточастинкових систем, узагальнені колективні моди і матрична теорія збурень.....	152
Литвин М.А., Мудрий С.Л.	Вплив інтерметалідів на поверхневий натяг розбавленіх розчинів $\text{Sn}_{1-x}\text{Ni}_x$ .....	157
Липник В.В., Хвильун М.В., Селепіна И.Р.	Енергетичні спливниціння в електромагнітному полі.....	158
Лучинов С.В., Бурбан О.В., Назарчук П.Ф., Зимін А.І.	Енергія іонізації мікроскопічних донорів в $\text{Li}_1$ та $\text{Li}_2$ моделі $n-\text{Ge}$ .....	160
Макарець О.М., Кучак А.І.	Спектри квазічастинок у багатошаровій відкритій напівпровідниковій наногрупі.....	161
Макеєвський С.В., Гурчук С.В., Науменко Т.С., Галушка М.А., Богданюк М.С.	Лангертиди.....	165
Мельничук Л., Захарук З., Раренко І., Фургас І., Овол А., Соловій С., Фотук П.	Формулу за допомогою індикаторного наповту у природних та технологічних подіях.....	166
Мілов С.В., Д'яченко І.І., Крупко О.В., Кобітович О.М., Халавка Ю.Б., Остапов С.Е.	Програмне забезпечення для аналізу оптических спектрів – то монокристалин напівпровідникових сполучок.....	170
Наумець Т.С., Артох В.О., Рубинська М.Л.	Зорі – вамипіри.....	174
Нікінський Ю.С., Жовнерук С.В., Рибіцька Я.	Зміна структури аморфних сплавів під дією лазерного випромінювання.....	175
Новосад О.В., Божко В.В., Парасюк О.В., Божко Н.А., Кажукаускас В.	Перспективи використання монокристалів $\text{CuInX}_2\text{ZnIn}_2\text{X}_4$ ( $\text{X} = \text{Se}, \text{S}$ ) та $\text{Cd}_6\% \text{Zn}_0.6\text{Te}$ як поглинючого шару фотодіелектропретворювачів.....	176
Пирога С.А.	Лінірні орбіти в молелі бора і структура т-меронів.....	180
Понеділок Г.В., Кланчук М.І.	Спектр і хвильові функції квантової точки у зовнішньому магнітному полі.....	184
Романюк Ю.А., Яремко А.М., Юхимчук В.О.	Електронно-фонона та електронно-електронна взаємодії в раманівських та спектрах поглинання кристалів.....	190
Сахнюк В.С., Пастух О.О., Шутовський А.М.	Вплив домішок на ефекти фазової когерентності в надпровідних контактах типу SIS.....	192
Франчук Л.Ю., Данилюк Л.В., Ісащенко І.А., Галані В.В., Срібельук В.В., Неска Ю.М., Олексєєк Л.Д.	Оптичні властивості монокристалів $\text{Ga}_x\text{In}_{1-x}\text{S}_3$ , $\text{Ga}_{5.46}\text{In}_{4.47}\text{E}_{0.07}\text{S}_5$ .....	193
Фурман В.	Моделювання термомеханічних процесів в зонах активної власкості кори та мантії землі.....	197
Хвилини М.В., Янинський Л.В., Федосов С.А.	Методи дослідження поздовжнього і поперечного п'єзоопору в кристалах кремнію.....	201